

## 讨论结果

1. 我们的quantum walk: one step evolution (先向左走) :

$$U = T_1 R(\theta_1) T_2 R(\theta_2)$$

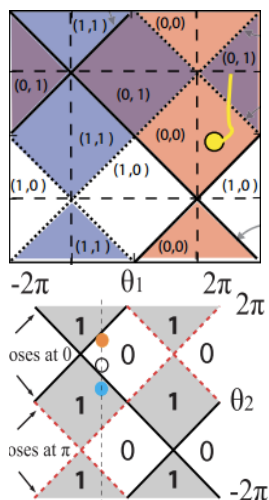
$$T_1 = \sum_{n=0}^{\infty} (|n+1\rangle \langle n| \otimes |\uparrow\rangle \langle \uparrow| - |n\rangle \langle n| \otimes |\downarrow\rangle \langle \downarrow|) + (|0\rangle \langle 0| \otimes |\uparrow\rangle \langle a|$$

$$T_2 = \sum_{n=0}^{\infty} (|n\rangle \langle n+1| \otimes |\downarrow\rangle \langle \downarrow| - |n\rangle \langle n| \otimes |\uparrow\rangle \langle \uparrow|) + (|0\rangle \langle 0| \otimes |a\rangle \langle \downarrow|)$$

所以整体的效果:

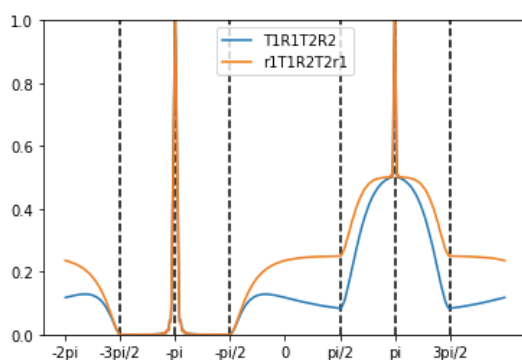
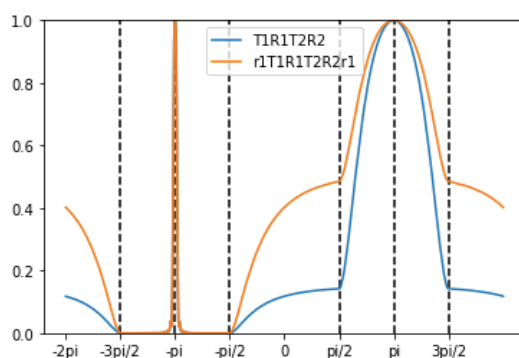
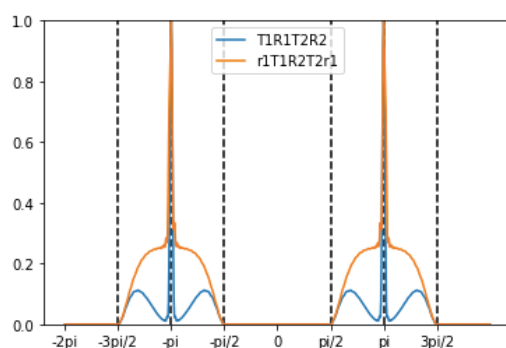
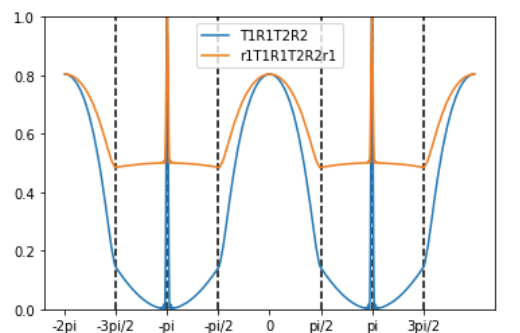
$$U = \left( \sum_{n=0}^{\infty} (|n+1\rangle \langle n| \otimes |\uparrow\rangle \langle \uparrow| - |n\rangle \langle n| \otimes |\downarrow\rangle \langle \downarrow|) \right) R_1 \left( \sum_{n=0}^{\infty} (|n\rangle \langle n+1| \otimes |\downarrow\rangle \langle \downarrow| - |n\rangle \langle n| \otimes |\uparrow\rangle \langle \uparrow|) \right) R_2 - |0\rangle \langle 0| \otimes |\uparrow\rangle \langle \downarrow|$$

采用相图如下: 在 (1, 0) 区域为真空。我还是觉得可以参考一下下面第二个相图, 因为上图应该是在下图的基础上更精细的分类, 也即原本会是与真空winding number相同的区域也会出现拓扑相。

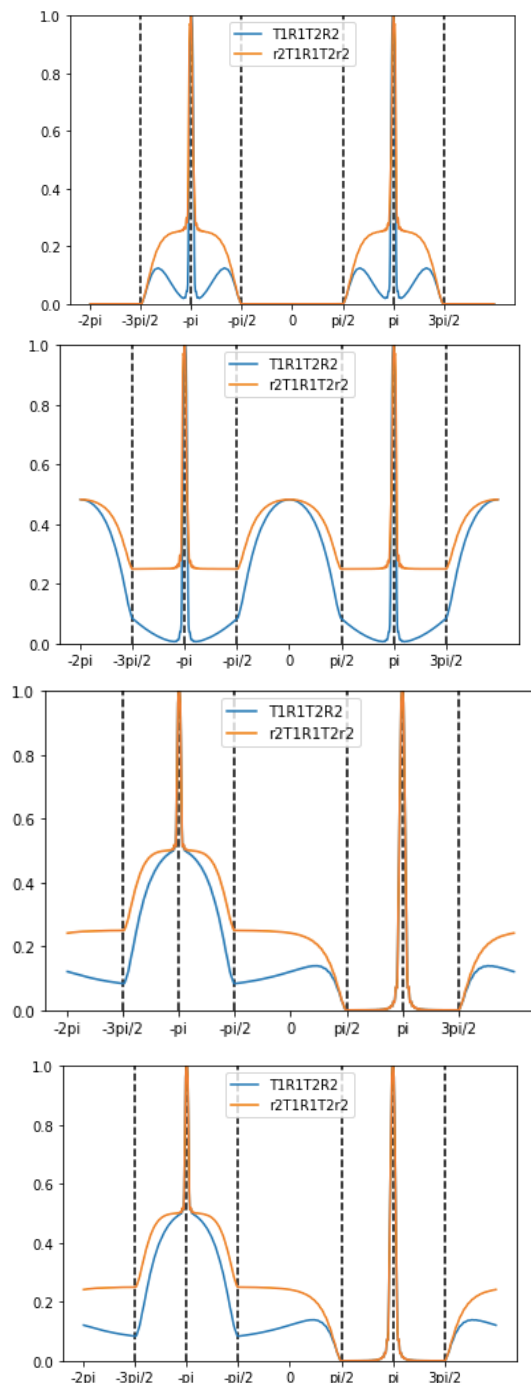


这里要说明一下接下来我是如何观察相图的: 对于 $T_1 R_1 T_2 R_2$ 和 $r_2 T_1 R_1 T_2 r_2$ 是以 $\theta_2$ 作为x轴,  $\theta_1$ 作为y轴。对于 $T_2 R_2 T_1 R_1$ 和 $r_1 T_2 R_2 T_1 r_1$ 是以 $\theta_1$ 作为x轴,  $\theta_2$ 作为y轴。原因可以从有效哈密顿量看出, 把先走的那个角度作为x轴, 按照原始的相图 (只有winding number) 是一样的。

2. 模拟结果：下图1，2是选定 $\theta_1 = \pi/2$ ， $-\pi/2$ 改变 $\theta_2$ ，对应于相图中水平的线，图1始终存在边缘态，图2在 $(1, 0)$  区间外存在边缘态。下图3，4选定 $\theta_2 = \pi/2$ ， $-\pi/2$ 改变 $\theta_1$ ，对应图中垂直的线，可以看出仍然是在 $(1, 0)$  区间外存在边缘态。分别画的是 $T1R1T2R2$ ,  $r2T1R1T2r2$ （抱歉下面图上的标签有误）

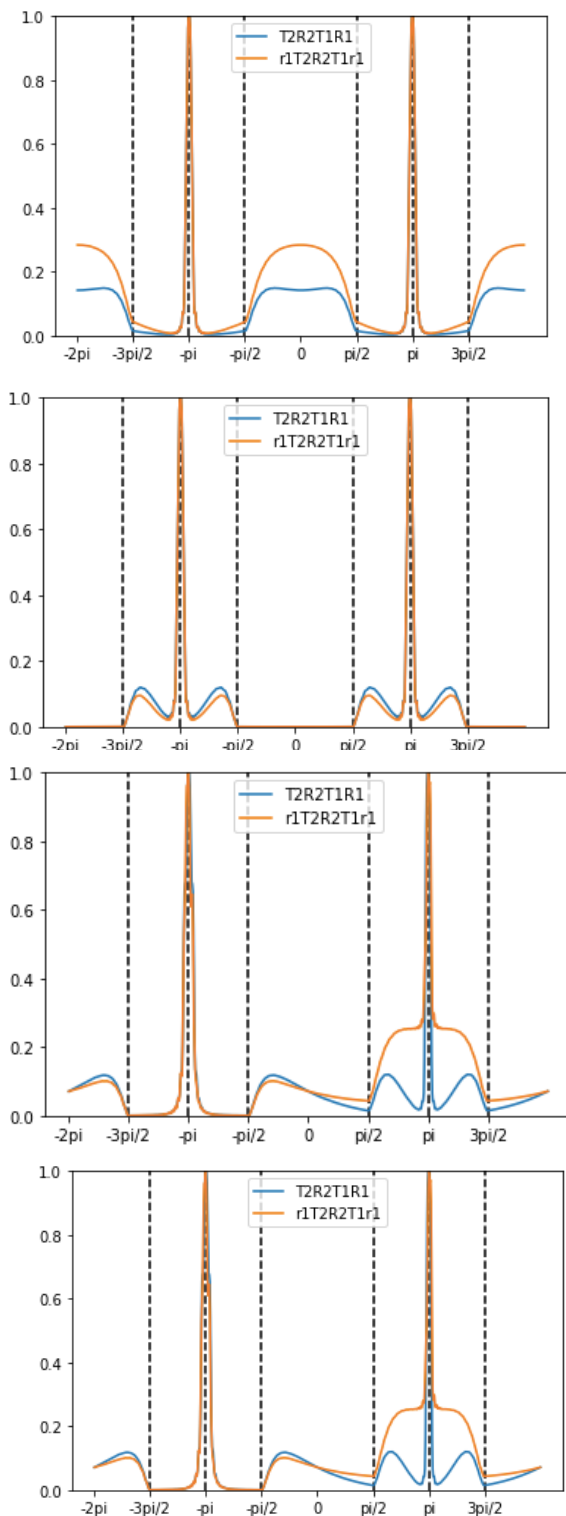


有趣的结果：下图1，2是选定 $\theta_1 = \pi/2$ ， $-\pi/2$ 改变 $\theta_2$ ，对应于相图中水平的线，图1始终存在边缘态，图2在 $(0, 1)$  区间外存在边缘态。下图3，4选定 $\theta_2 = \pi/2$ ， $-\pi/2$ 改变 $\theta_1$ ，对应图中垂直的线，可以看出仍然是在 $(0, 1)$  区间外存在边缘态。画的仍然是 $T1R1T2R2$ ,  $r2T1R1T2r2$ ，不过对反射壁进行了改进，反射壁变为 $|0\rangle\langle 0| \otimes |\uparrow\rangle\langle \downarrow|$ （原来前面是负号）。



更多的：下面四张图的描绘的次序是：T2R2T1R1, r1T2R2T1r1. 下图1, 2是选定  $\theta_1 = \pi/2, -\pi/2$  改变  $\theta_2$ ，对应于相图中垂直的线，图1始终存在边缘态，图2在

(1, 1) 区间外存在边缘态。下图3, 4选定  $\theta_2 = \pi/2, -\pi/2$  改变  $\theta_1$ ，对应图中水平的线，可以看出竟然是在 (1, 1) 区间外存在边缘态。分别画的是 T1R1T2R2, r2T1R1T2r2，这样的话根据相图，真空为 (1, 1)



结论：通过模拟已经可以获取三种真空，采用的手段是改变行走的顺序（向左走或向右走）和边界反射壁的正符号。理应有 $2 \times 2 = 4$ 种，不过T2R2T1R1比较勉强，因为我们的系统在这种情形下是有辅助能级的，没法给出一种明确的边界情况，边界和辅助能级混合在了一起。我也不是很明确是否得到了真的不同的真空，目前仅仅是不同的参数区间，因为我不知道变了行走和边界的方式， $Z_2 \times Z_2$ 的相图会有怎样的变化。